

1. はじめに

嫌気性消化法において、菌体増殖に必要な窒素を欠く有機系廃棄物を処理する場合、窒素補給源として、アンモニア性あるいは硝酸性窒素等の結合窒素については多くの研究がなされているが、分子状窒素 (N_2 ガス) の利用に関する研究は見当らない。本報は、嫌気性消化における N_2 ガスの微生物利用（窒素固定および同化）の可能性を評価するものであり、アンモニア性窒素の場合と比較検討した。尚、基質としてグルコース、セルロース、および酢酸塩の3種類について実験を行ない、基質の生物窒素固定に与える影響を合わせて検討する。

2. 実験計画

(1) 実験装置 液相容量2lの4基のバッチ式リアクターを備えた装置を用い、図1に示したように各リアクター-媒質は連続かく拌され、温水槽にて35°Cに保たれた。

(2) 媒質成分 各リアクターの基質（投入濃度5g/l as COD）と窒素源を図2の上部に示した。必要栄養分量は細胞組成と推定菌体量より算出して媒質に加え、pHは概ね6.5~8.0に保持されるようにリン酸塩緩衝剤を加えた。実験は遠心分離した消化汚泥の上澄み液2mlを媒質に加えることにより始められたが、2mlの上澄み液に含まれる有機窒素は無視できる量であることを前実験により確認した。

(3) 分析方法 菌体量はVSSで表わすとし、窒素は蒸留法およびケーレルダール法で測定した。また、pHはpHメータにより、残留基質（炭水化物）はフェノール・硫酸法、ガス組成および口膜によるロ過液の揮発酸とアルコールはガスクロマトグラフィにより分析した。こゝに、窒素固定が起こるとすれば少しづつヒドロゲン生成期に起るはずであり、従って分析は酸生成期に重点を置いた。

3. 実験結果と考察

(1) 基質分解、pH変化、および菌体増殖 図2に示したように14日間の消化期間において、グルコースを基質としたR1とR4のみ基質分解とそれに伴ったpHの低下を示し、R2のセルロースR3の酢酸塩は分解せず、pHの変化もなかった。図2または図3から明らかなようにR1とR4の基質分解に約20時間の遅延が見られた。これは、R1とR4の窒素源はそれぞれ N_2 ガスと NH_4Cl であり、R1の場合窒素固定という新たなプロセス (N_2 を NH_3 に還元) が加わったためか、あるいはR1とR4内の優占細菌の増殖速度の相違によるものと考える。また、R1の場合菌体増殖が基質分解に先行し、R4の場合基質分解が菌体増殖に先行した。菌体増殖量にも大きな差が見られ、定常期においてR1で約230mg VSS/l、R4で約600mg VSS/lであり、これらを基質CODよりVSSへの転換率で表わすとそれが0.047、0.122 mg VSS/mg CODとなる。菌体増殖量に差を生じた主な理由と1つ次の事が考えられる。生物窒素固定はニトロゲナーゼと呼ばれる酵素によるもので、ニトロゲナーゼによる反応経路に N_2 を NH_3 に還元するとの（窒素固定）と媒

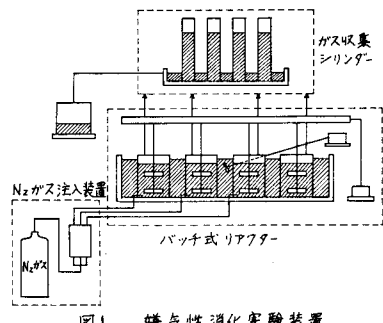


図1. 嫌気性消化実験装置

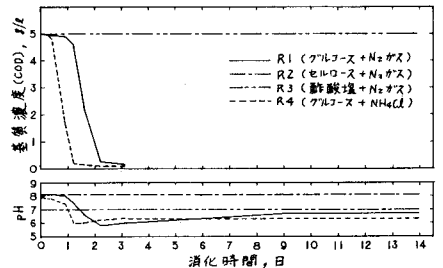


図2. 14日間の消化期間における基質分解とpHの変化

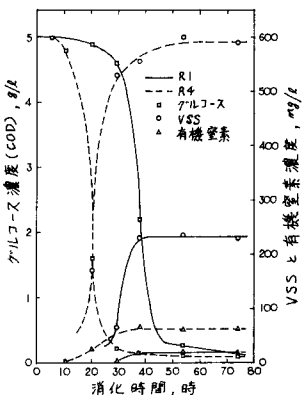


図3. 基質分解と菌体増殖(VSS)の関係

質中の H^+ を H_2 に還元するもの（ATP 依存性水素発生）の 2 つがある。窒素分子を十分に加えて古還元力約 75% の窒素分子の還元に使われ、残りの約 25% は水素の発生に使われると言われている。¹³⁾ このため窒素固定反応には多くのエネルギーも必要とし、R1 の場合基質分解で得た ATP エネルギーの多くが固定反応のために消費され、菌体増殖に利用され得るエネルギーが少ないとと思われる。更に、細胞内窒素（有機窒素）の含有率を R1 と R4 でそれぞれ乾燥重量で 8% から 11% と差を生じた。セルロースが分解しなかつた理由として、窒素固定菌はセルロース加水分解酵素を持たず、本実験下ではセルロース分解酵素を持つ菌との共生関係は成立しないか、大きさと考えられる。一方、酢酸塩の分解過程から窒素固定反応に必要な電子供与体であるピルビン酸は得られず、固定反応が起こり得ないため窒素源を欠き、微生物による酢酸塩の分解は起らなかつたと考える。

(d) 撃発酸生成 基質分解の見られた R1 と R4 について撃発酸の生成状況を図 4 に示した。いずれの場合も基質分解期に酢酸の生成が見られ、基質分解完了とほぼ同時に酢酸生成は止まりプロピオン酸と酪酸の生成へと移行した。75 時間の消化では R1 にプロピオン酸の生成は見られなかつたが、その生成パターンからその後に生成された事を十分考えられる。消化開始から 75 時間後で、基質から撃発酸への変換率は COD 当量で約 20% が酢酸、同じく 20% がプロピオン酸、そして 12% が酪酸となっている (R4)。

(e) アルコール生成 アルコールのうちエタノールだけの生成が確認された。図 5 に示したようにエタノールの生成パターンは酢酸のそれと類似し、基質分解期に生成が見られた。基質に対する COD 当量変換率は約 15% であった。

(f) ガス生成 14 日間の消化期間における最大ガス生成速度は R1 と R4 でそれぞれ単位乾燥質量当たり 356 mg/L・日と 309 mg/L・日であり、ガス生成が異なる間 R1 では H_2 生成量が CO_2 より多く、一方 R4 では両生成量とも同程度であつた。紙幅が限られているためガス生成の実験データは割愛するが、14 日間の R1 の水素生成量は R4 より多く、これはニトロゲナーゼによる水素発生によるものと考える。

(g) 酸発酵生成物の COD 当量組成 図 6 に示した酸発酵生成物の COD 当量組成を見ると、グルコース分解のはば完了した時点での組成は約 50% が菌体、撃発酸、およびエタノールの COD からなり、残りの約 50% は未知の COD (図 6 の中間物 COD) であった。ガスクロマトグラフ分析においてこの未知の生成物と思われる非常に尾を引くピークが見られたが、本実験ではその実体を明らかにできなかつた。しかし、図 6 で消化が進むにつれて中間物 COD は撃発酸 COD へと移行しており、更に図 4 と 6 を照査すると、プロピオン酸あるいは酪酸の生成開始と同時に撃発酸 COD への移行が始まつてゐる。このことよりこの中間物はプロピオン酸あるいは酪酸の前駆物質（たとえばコハク酸やアセト酸）である可能性が強い。

4. おわりに

本実験により、嫌気性消化の酸生成期において N_2 ガスは菌体の窒素源として利用され、 NH_4Cl を窒素源とした場合に比で菌体増殖量が半分以下であることが明らかにされた。今後、連続式でのメタン生成期まで含めた実験を重ね実用面を考えるもの興味深い。最後に、本実験は筆者がアメリカのミシガン州立大学に留学中に行ったものである事を付記しておく。

参考文献：1) 中村道徳，生物窒素固定，学会出版センター (1980)

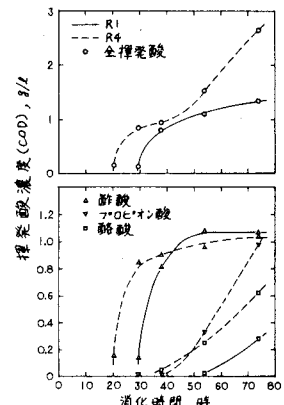


図 4. 全撃発酸濃度とその組成の推移

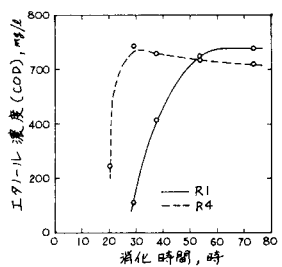


図 5. エタノール濃度の推移

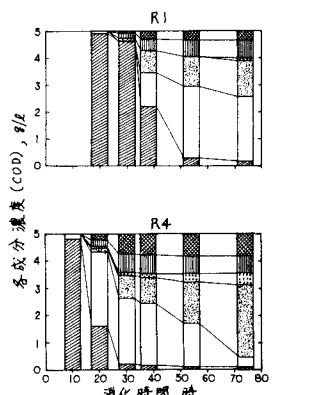


図 6. 酸発酵生成物の COD 当量組成